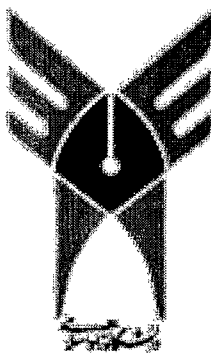


الله اعلم

18/4/14



دانشگاه آزاد اسلامی

واحد شاهرود

دانشکده علوم پایه، گروه شیمی

پایان نامه برای دریافت درجه کارشناسی ارشد «M.Sc»

عنوان:

بررسی ساختاری و تعیین برخی توابع ترمودینامیکی کنفورمرهای مختلف تری پیتید
با استفاده از محاسبات مکانیک کوانتومی $\text{HCO-Gly-L-Val-Gly-NH}_2$

استاد راهنما:

دکتر بهزاد چهکندی

استاد مشاور:

دکتر صفا علی عسگری

نگارش:

بدرالسادات سیدحسینی

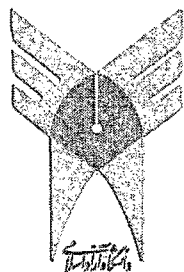
کارشناسی ارشد
دانشگاه آزاد اسلامی پردیس شاهرود

۱۳۷۹۱۴ / ۲۳ / ۱۷

پاییز ۱۳۸۸

ب

۱۳۷۹۱۴



دانشگاه آزاد اسلامی

واحد شاهroud

دانشکده علوم پایه، گروه شیمی

پایان نامه برای دریافت درجه کارشناسی ارشد «M.Sc.»

گرایش: شیمی فیزیک

عنوان:

بررسی ساختاری و تعین برخی توابع ترمودینامیکی، کنفیوژنرهای مختلف تری پیتید

با استفاده از محاسبات مکانیک کوانتومی $\text{HCO-Gly-L-Val-Gly-NH}_2$

نگارش:

بدرالسادات سید حسینی

پاییز ۱۳۸۸

۱. دکتر بهزاد چهکنندی

هیأت داوران:

۲. دکتر صفا علی عسگری

۳. دکتر مجید محمد حسینی

پاسکنواری

پاس بیکران خدای را سراست
که رحایش بیکران و مهربانی اش بی حصر است

با پاس از

استاد گرامی وارجمند

جناب آقای دکتر چهلکندی «استاد راهنمای» و جناب آقای دکتر علی عسکری «استاد مشاور» که با لطف فراوان

همواره در مسیر تحقیقات و ارائه این پژوهه خالصانه های سکر و ارشادگذشته ام بوده اند؛

همچنین جناب آقای دکتر محمد حسینی که زحمت داوری این پایان نامه را به عمدگذشت.

تقدیم به

مولای آدینه‌ها، هم او که از سلاطه عشق و ایمان است، مردی که کلید وار قفل های دنیاست و مارا امیدی است، باشد تاموسیقی دلشیں منج وصل اور ادر جزیره آرام جان بشویم.

تقدیم به

تحلی لطف و بخشانگی خداوند در روی زمین

نادر عزیزم

معدن هم و محبت و ایثار

پدر هم رانم

هم فر فرازو نشیب های زندگی

هم سر صبورم

شیرینی بخش زندگی ام

فرزندان دل بندم

فهرست مطالب

| صفحه | عنوان |
|------|--|
| ۱ | چکیده |
| | فصل اول : ساختار پروتئین |
| ۳ | ۱- مقدمه |
| ۵ | ۱-۱- اسیدهای آمینه |
| ۶ | ۱-۲- انواع اسیدهای آمینه |
| ۷ | ۱-۲-۱- گروه های R آلیاتیک و غیرقطبی |
| ۸ | ۱-۲-۲- گروه های R آروماتیک |
| ۹ | ۱-۲-۳- گروه های R قطبی و بدون بار |
| ۱۰ | ۱-۴- گروه های R بازی (با بار مشبت) |
| ۱۱ | ۱-۵- گروه های R اسیدی (با بار منفی) |
| ۱۲ | ۱-۳- آمینواسیدها به عنوان یون های دو قطبی |
| ۱۳ | ۱-۴- نقطه ایزوالکترونیک آمینواسیدها |
| ۱۴ | ۱-۵- تهیه آمینواسیدها |
| ۱۴ | ۱-۵-۱- آمیناسیون α - هالواسیدها |
| ۱۴ | ۱-۵-۱-۱- روش هل - ولهارد - زلینسکی |
| ۱۵ | ۱-۵-۱-۲- روش مالونیک استر |
| ۱۶ | ۱-۵-۱-۳- روش فتالیمید و مالونیک استر |
| ۱۷ | ۱-۶- پتیدها، شکل هندسی اتصال پتیدی |
| ۱۸ | ۱-۷- سنتز پتیدها |
| ۱۹ | ۱-۷-۱- روش آسیلاسیون به وسیله بنزیل کلر و کربنات |
| ۲۰ | ۱-۷-۱-۱- سنتز گلایسیل آلانین (Gly-Ala) با روش کربوبنزوکسی |
| ۲۱ | ۱-۸- سطوح ساختاری تعیین کننده شکل پروتئین |
| ۲۲ | ۱-۸-۱- ساختار اول |
| ۲۲ | ۱-۸-۲- ساختار دوم |
| ۲۲ | ۱-۸-۳- مارپیچ α |

| | |
|----|--|
| ۲۳ | β -صفحه‌ی ۱-۲-۲-۸-۱ |
| ۲۴ | Turn ها -۳-۲-۸-۱ |
| ۲۴ | ۹-۱- طرح راماچاندران |
| ۲۷ | ۱۰-۱- بافت همبند |
| ۲۷ | ۱۰-۱- الاستین |
| ۲۷ | ۱۰-۱- ترکیب |
| ۲۹ | ۱۰-۱- موقعیت در بدن |
| ۲۹ | ۱۰-۱- نقص‌ها و بیماری‌ها |
| | فصل دوم : تحقیق پیرامون پیتیدها |
| ۳۱ | ۲- مقدمه |
| ۳۱ | ۲-۱- تحقیق پیرامون دی پیتیدها |
| ۴۰ | ۲-۲- مطالعات پیرامون تری پیتیدها |
| | فصل سوم : روش محاسباتی در شیمی کوانتمی |
| ۵۳ | ۳- مقدمه |
| ۵۴ | ۳-۱- مکانیک مولکولی |
| ۵۵ | ۳-۲- روش‌های ساختار الکترونی |
| ۵۵ | ۳-۲-۱- روش محاسبات آغازین |
| ۵۶ | ۳-۱-۱- تقریب هارتی - فاک |
| ۵۹ | ۳-۱-۲- ۳- همبستگی |
| ۶۰ | ۳-۱-۲-۳- نظریه اختلال مولر - پلست |
| ۶۲ | ۳-۱-۲-۳-۴- برهم کنش پیکربندی (CI) |
| ۶۳ | ۳-۱-۲-۳-۵- میدان خودسازگار چند آرایشی |
| ۶۴ | ۳-۱-۲-۳-۶- برهمکنش پیکربندی چند مرجعی |
| ۶۴ | ۳-۱-۲-۳-۷- کلاستر مزدوج |
| ۶۵ | ۳-۱-۲-۳-۸- روش‌های مونت کارلوی کوانتمی |
| ۶۶ | ۳-۱-۲-۳-۹- اریتال‌های طبیعی |
| ۶۷ | ۳-۱-۲-۳-۱۰- نتیجه گیری |
| ۶۸ | ۳-۲-۲-۳- روش‌های نیمه تجربی |

| | |
|----|--|
| ۶۹ | هوکل -۱-۲-۲-۳ |
| ۷۰ | هوکل بسط یافته -۲-۲-۲-۳ |
| ۷۰ | PPP -۳-۲-۲-۳ |
| ۷۰ | CNDO -۴-۲-۲-۳ |
| ۷۱ | MINDO -۵-۲-۲-۳ |
| ۷۱ | MNDO -۶-۲-۲-۳ |
| ۷۲ | INDO -۷-۲-۲-۳ |
| ۷۲ | ZINDO -۸-۲-۲-۳ |
| ۷۳ | SINDO 1 -۹-۲-۲-۳ |
| ۷۳ | PRDDO -۱۰-۲-۲-۳ |
| ۷۳ | AM1 -۱۱-۲-۲-۳ |
| ۷۴ | PM3 -۱۲-۲-۲-۳ |
| ۷۵ | PM3/TM -۱۳-۲-۲-۳ |
| ۷۵ | (FENSKE-HALL) -۱۴-۲-۲-۳ فنسکی - هال |
| ۷۵ | TNDO -۱۵-۲-۲-۳ |
| ۷۶ | SAMI -۱۶-۲-۲-۳ |
| ۷۶ | تئوری گوسین -۱۷-۲-۲-۳ |
| ۷۷ | G1 -۱-۱۷-۲-۲-۳ روش |
| ۷۸ | G2 -۲-۱۷-۲-۲-۳ روش |
| ۷۹ | G3 -۳-۱۷-۲-۲-۳ روش |
| ۸۲ | -۳-۲-۲-۳ نظریه تابع چگال |
| ۸۴ | -۱-۳-۲-۳ نظریه پایه |
| ۸۶ | -۲-۳-۲-۳ روش های مقیاس بندی خطی |
| ۸۸ | -۳-۳-۲-۳ ملاحظات عملی |
| ۸۹ | -۴-۳-۲-۳ توصیه ها |
| ۸۹ | -۴-۲-۳ توابع پایه |
| ۹۳ | -۱-۴-۲-۳ سری های پایه |
| ۹۶ | -۲-۴-۲-۳ توصیه ها |

| | |
|-----|---|
| ۹۶ | ۳-۳- آینده شیمی کوانتوسی |
| | فصل چهارم : محاسبات و نتیجه گیری |
| ۹۸ | ۴- مقدمه |
| ۹۸ | ۴-۱- روش کار |
| ۹۹ | ۴-۲- تعیین کنفورماسیون های حاصل از چرخش زنجیر جانبی χ |
| ۱۰۵ | ۴-۳- تعیین کنفورماسیون های حاصل از چرخش زوایای دو وجهی اسکلت |
| ۱۰۶ | ۴-۳-۱- توابع ترمودینامیکی و پایداری |
| ۱۴۲ | ۴-۴- تعیین برخی از کنفورماسیون های تری پپتید $HCO-Gly-L-Val-Gly-NH_2$ |
| ۱۵۷ | نتیجه گیری |
| ۱۵۹ | منابع |
| ۱۵۹ | فهرست منابع فارسی |
| ۱۶۰ | فهرست منابع غیر فارسی چکیده انگلیسی |

فهرست جدول ها

| | عنوان |
|------|---|
| صفحه | |
| ۵ | جدول ۱-۱: آمینواسیدهای استاندارد در ساختار پروتئین ها |
| ۲۸ | جدول ۲-۱: رشته های تکراری در مواد الاستومری بر مبنای پروتئین |
| ۳۵ | جدول ۲-۱: انرژی نسبی و انرژی برحسب <i>Hartree</i> برای کنفورماسیون های <i>MeCO-Val-Ala-NHMe</i> و <i>MeCO-Ala-Val-NHMe</i> |
| ۳۶ | جدول ۲-۲: انرژی برحسب <i>Kcal/mol</i> و <i>Hartree</i> و زوایای دو وجهی کنفورماسیون های <i>MeCO-L-Ala-L-Ala-NH-Me</i> |
| ۳۷ | جدول ۲-۳: انرژی برحسب <i>Kcal/mol</i> و <i>Hartree</i> و زوایای دو وجهی کنفورماسیون های <i>MeCO-D-Ala-D-Ala-NHMe</i> |
| ۳۷ | جدول ۲-۴: انرژی برحسب <i>Kcal/mol</i> و <i>Hartree</i> و زوایای دو وجهی کنفورماسیون های <i>MeCO-L-Ala-D-Ala-NHMe</i> |
| ۳۸ | جدول ۲-۵: انرژی برحسب <i>Kcal/mol</i> و <i>Hartree</i> و زوایای دو وجهی کنفورماسیون های <i>MeCO-D-Ala-L-Ala-NHMe</i> |
| ۳۸ | جدول ۲-۶: نتایج پایین ترین انرژی پتانسیل می نیمم شده برای هر دی پیتید |
| ۳۹ | جدول ۲-۷: رشته های تکرارشونده مواد الاستومری برپایه پروتئین طبیعی شامل دی پیتید "Pro-Gly" |
| ۴۱ | جدول ۲-۸: مقادیر انرژی الکتریکی، آنتالپی، انرژی آزاد گیبس و آنتروپی $HCO\text{-Gly-Gly-Gly-NH}_2$ در سطح <i>RHF/6-31G(d,p)</i> |
| ۴۱ | جدول ۲-۹: کنفورماسیون های بهینه شده برای $HCO\text{-Gly-Gly-Gly-NH}_2$ در سطح <i>RHF/6-31G(d,p)</i> |
| ۴۴ | جدول ۱۰-۲: زوایای دو وجهی کنفورماسیون های بهینه شده و مقادیر انرژی بر حسب <i>Kcal/mol</i> و <i>Hartree</i> و <i>MeCO-Ala-Ala-Ala-NHMe</i> |
| ۴۶ | جدول ۱۱-۲: مقادیر طول پیوند <i>C-H</i> و زوایای پیوندی <i>N-C_α-CO</i> تری پیتید در سطح <i>HF/6-31G*</i> $N\text{-Ac-D-Ala-Gly}[\beta]\text{-L-Ala-NHMe}$ |
| ۴۷ | جدول ۱۲-۲: مقادیر طول پیوند <i>C-H</i> و زوایای پیوندی <i>N-C_α-CO</i> تری پیتید در سطح <i>HF/6-31G*</i> $N\text{-Ac-L-Ala-Gly}[\beta]\text{-L-Ala-NHMe}$ |
| ۴۹ | جدول ۱۳-۲: مقادیر زوایای دو وجهی، ممان دوقطبی، انرژی، آنتالپی، انرژی آزاد گیبس در سطح تثوری <i>Ac-azaPhe-NH-Me</i> <i>HF/6-31G*</i> |

| | |
|-----|---|
| ۵۱ | جدول ۲-۱: پیتیدهای ساخته شده با غبار روی تحت تابش ریز موج |
| ۸۶ | جدول ۳-۱: انواع روش های DFT همراه با علائم و اختصارات آنها |
| ۱۰۱ | جدول ۴-۱: مقادیر انرژی (E) و انرژی نسبی (ΔE) در سطح $B_3LYP/6-31G(d)$ و $HF/6-31G(d)$ نسبت به تغییرات زنجیر جانی χ |
| ۱۰۲ | جدول ۴-۲: مقادیر برخی از زوایای دو وجهی و زاویه پیوندی در سطح $HF/6-31G(d)$ |
| ۱۰۲ | جدول ۴-۳: مقادیر برخی از زوایای دو وجهی و زاویه پیوندی در سطح $B_3LYP/6-31G(d)$ |
| ۱۱۴ | جدول ۴-۴: مقادیر انرژی (E)، انرژی نسبی (ΔE)، انرژی آزاد گیبس (G)، تغییرات انرژی آزاد گیبس (ΔG)، آنتالپی، ΔH ، آنتروپی و ΔS با تغییر زاویه Φ_1 در سطح $HF/6-31G(d)$ |
| ۱۱۵ | جدول ۴-۵: مقادیر انرژی (E)، انرژی نسبی (ΔE)، انرژی آزاد گیبس (G)، تغییرات انرژی آزاد گیبس (ΔG)، آنتالپی، ΔH ، آنتروپی و ΔS با تغییر زاویه Φ_1 در سطح $B_3LYP/6-31G(d)$ |
| ۱۱۶ | جدول ۴-۶: مقادیر انرژی (E)، انرژی نسبی (ΔE)، انرژی آزاد گیبس (G)، تغییرات انرژی آزاد گیبس (ΔG)، آنتالپی، ΔH ، آنتروپی و ΔS با تغییر زاویه Ψ_1 در سطح $HF/6-31G(d)$ |
| ۱۱۷ | جدول ۴-۷: مقادیر انرژی (E)، انرژی نسبی (ΔE)، انرژی آزاد گیبس (G)، تغییرات انرژی آزاد گیبس (ΔG)، آنتالپی، ΔH ، آنتروپی و ΔS با تغییر زاویه Ψ_1 در سطح $B_3LYP/6-31G(d)$ |
| ۱۱۸ | جدول ۴-۸: مقادیر انرژی (E)، انرژی نسبی (ΔE)، انرژی آزاد گیبس (G)، تغییرات انرژی آزاد گیبس (ΔG)، آنتالپی، ΔH ، آنتروپی و ΔS با تغییر زاویه Φ_2 در سطح $HF/6-31G(d)$ |
| ۱۱۹ | جدول ۴-۹: مقادیر انرژی (E)، انرژی نسبی (ΔE)، انرژی آزاد گیبس (G)، تغییرات انرژی آزاد گیبس (ΔG)، آنتالپی، ΔH ، آنتروپی و ΔS با تغییر زاویه Φ_2 در سطح $B_3LYP/6-31G(d)$ |
| ۱۲۰ | جدول ۴-۱۰: مقادیر انرژی (E)، انرژی نسبی (ΔE)، انرژی آزاد گیبس (G)، تغییرات انرژی آزاد گیبس (ΔG)، آنتالپی، ΔH ، آنتروپی و ΔS با تغییرات Ψ_2 در سطح $HF/6-31G(d)$ |
| ۱۲۱ | جدول ۴-۱۱: مقادیر انرژی (E)، انرژی نسبی (ΔE)، انرژی آزاد گیبس (G)، تغییرات انرژی آزاد گیبس (ΔG)، آنتالپی، ΔH ، آنتروپی و ΔS با تغییرات Ψ_2 در سطح $B_3LYP/6-31G(d)$ |
| ۱۲۲ | جدول ۴-۱۲: مقادیر انرژی (E)، انرژی نسبی (ΔE)، انرژی آزاد گیبس (G)، تغییرات انرژی آزاد گیبس (ΔG)، آنتالپی، ΔH ، آنتروپی و ΔS با تغییرات Φ_3 در سطح $HF/6-31G(d)$ |
| ۱۲۳ | جدول ۴-۱۳: مقادیر انرژی (E)، انرژی نسبی (ΔE)، انرژی آزاد گیبس (G)، تغییرات انرژی آزاد گیبس (ΔG)، آنتالپی، ΔH ، آنتروپی و ΔS با تغییرات Φ_3 در سطح $B_3LYP/6-31G(d)$ |
| ۱۲۴ | جدول ۴-۱۴: مقادیر انرژی (E)، انرژی نسبی (ΔE)، انرژی آزاد گیبس (G)، تغییرات انرژی آزاد گیبس (ΔG)، آنتالپی، ΔH ، آنتروپی و ΔS با تغییرات Ψ_3 در سطح $HF/6-31G(d)$ |

| | |
|---|-----|
| جدول ۱۵-۴: مقادیر انرژی (E)، انرژی نسبی (ΔE)، انرژی آزاد گیبس (ΔG)، آنتالپی، ΔH ، آنتروپی و ΔS با تغییرات Ψ_2 در سطح $B_3LYP/6-31G(d)$ | ۱۲۵ |
| جدول ۱۶-۴: مقادیر زوایای دو وجهی ایده آل برای هر یک از کنفورمرهای مربوط به نقشه راماچاندران | ۱۴۵ |
| جدول ۱۷-۴: مقادیر انرژی (E)، انرژی نسبی (ΔE) و زوایای دو وجهی برای کنفورمرهای $B_3LYP/6-31(d)$ در حالت (g^+) در سطح $HCO\text{-Gly}\text{-Val}\text{-Gly}\text{-NH}_2$ | ۱۴۹ |
| جدول ۱۸-۴: مقادیر انرژی (E)، انرژی نسبی (ΔE) و زوایای دو وجهی برای کنفورمرهای $B_3LYP/6-31(d)$ در حالت آنتی (a) در سطح $HCO\text{-Gly}\text{-Val}\text{-Gly}\text{-NH}_2$ | ۱۴۹ |
| جدول ۱۹-۴: مقادیر انرژی (E)، انرژی نسبی (ΔE) و زوایای دو وجهی برای کنفورمرهای $B_3LYP/6-31(d)$ در حالت (g^-) در سطح $HCO\text{-Gly}\text{-Val}\text{-Gly}\text{-NH}_2$ | ۱۵۰ |
| جدول ۲۰-۴: انرژی آزاد گیبس (G)، تغییرات انرژی آزاد گیبس (ΔG)، آنتالپی، ΔH ، آنتروپی و ΔS در حالت (g^+) در سطح $B_3LYP/6-31(d)$ | ۱۵۱ |
| جدول ۲۱-۴: انرژی آزاد گیبس (G)، تغییرات انرژی آزاد گیبس (ΔG)، آنتالپی، ΔH ، آنتروپی و ΔS در حالت آنتی (a) در سطح $B_3LYP/6-31(d)$ | ۱۵۱ |
| جدول ۲۲-۴: انرژی آزاد گیبس (G)، تغییرات انرژی آزاد گیبس (ΔG)، آنتالپی، ΔH ، آنتروپی و ΔS در حالت (g^-) در سطح $B_3LYP/6-31(d)$ | ۱۵۲ |
| جدول ۲۳-۴: مقادیر اختلاف انرژی کنفورمرهای α_D و $\alpha_{D'}$ در حالت آنتی نسبت به دو حالت g^+ و g^- | ۱۵۴ |
| جدول ۲۴-۴: مقادیر زوایای پیچشی Φ_2 و Ψ_2 بهینه شده به همراه مقادیر جفت زوایای پیچشی ایده آل در سطح $B_3LYP/6-31(d)$ | ۱۵۵ |

فهرست نمودارها

| صفحه | عنوان |
|------|---|
| ۱۰۳ | نمودار ۱-۴ : منحنی تغییرات انرژی نسبی (ΔE) بر حسب تغییرات χ |
| ۱۲۶ | نمودار ۲-۴ : منحنی تغییرات $\Delta H, \Delta G, \Delta E$ بر حسب تغییرات Ψ_1 ($B_3LYP/6-31G(d)$ $\Psi_1 = \Phi_1 = \Psi_2 = \Phi_2 = \Phi_3 = \Phi_4 = 180^\circ$ Ψ_1 =متغیر) |
| ۱۲۷ | نمودار ۳-۴ : منحنی تغییرات $\Delta H, \Delta G, \Delta E$ بر حسب تغییرات Ψ_1 ($B_3LYP/6-31G(d)$ $\Psi_1 = \Phi_1 = \Psi_2 = \Phi_2 = \Phi_3 = \Phi_4 = 180^\circ$ Φ_1 =متغیر) |
| ۱۲۸ | نمودار ۴-۴ : منحنی تغییرات $\Delta H, \Delta G, \Delta E$ بر حسب تغییرات Ψ_2 ($B_3LYP/6-31G(d)$ $\Psi_1 = \Phi_1 = \Psi_3 = \Phi_3 = \Phi_2 = \Psi_2 = 180^\circ$ Φ_2 =متغیر) |
| ۱۲۹ | نمودار ۵-۴ : منحنی تغییرات $\Delta H, \Delta G, \Delta E$ بر حسب تغییرات Ψ_3 ($B_3LYP/6-32G(d)$ $\Psi_1 = \Phi_1 = \Psi_3 = \Phi_3 = \Phi_2 = \Psi_2 = 180^\circ$ Ψ_2 =متغیر) |
| ۱۳۰ | نمودار ۶-۴ : منحنی تغییرات $\Delta H, \Delta G, \Delta E$ بر حسب تغییرات Ψ_4 ($B_3LYP/6-31G(d)$ $\Psi_1 = \Phi_1 = \Psi_4 = \Phi_4 = \Phi_2 = \Psi_2 = 180^\circ$ Φ_4 =متغیر) |
| ۱۳۱ | نمودار ۷-۴ : منحنی تغییرات $\Delta H, \Delta G, \Delta E$ بر حسب تغییرات Φ_1 ($B_3LYP/6-31G(d)$ $\Psi_1 = \Phi_1 = \Psi_2 = \Phi_2 = \Psi_2 = 180^\circ$ Φ_1 =متغیر) |
| ۱۳۲ | نمودار ۸-۴ : منحنی تغییرات ΔS بر حسب تغییرات Ψ_1 و Φ_1 ($B_3LYP/6-31G(d)$ $\Psi_1 = \Phi_1 = \Psi_3 = \Phi_3 = \Psi_1 = 180^\circ$ Φ_1 =متغیر) |
| ۱۳۳ | نمودار ۹-۴ : منحنی تغییرات ΔS بر حسب تغییرات Ψ_1 و Φ_2 ($B_3LYP/6-31G(d)$ $\Psi_1 = \Phi_2 = \Psi_3 = \Phi_3 = \Phi_1 = 180^\circ$ Ψ_1 =متغیر) |
| ۱۳۴ | نمودار ۱۰-۴ : منحنی تغییرات ΔS بر حسب تغییرات Ψ_2 و Φ_2 ($B_3LYP/6-31G(d)$ $\Psi_1 = \Phi_1 = \Psi_3 = \Phi_3 = \Psi_2 = 180^\circ$ Φ_2 =متغیر) |
| ۱۳۵ | نمودار ۱۱-۴ : منحنی تغییرات ΔS بر حسب تغییرات Ψ_3 و Φ_3 ($B_3LYP/6-32G(d)$ $\Psi_1 = \Phi_1 = \Psi_3 = \Phi_3 = \Phi_2 = \Psi_2 = 180^\circ$ Ψ_2 =متغیر) |
| ۱۳۶ | نمودار ۱۲-۴ : منحنی تغییرات ΔS بر حسب تغییرات Ψ_3 و Φ_4 ($B_3LYP/6-31G(d)$ $\Psi_1 = \Phi_1 = \Psi_2 = \Phi_2 = \Psi_3 = \Phi_3 = 180^\circ$ Φ_4 =متغیر) |
| ۱۳۷ | نمودار ۱۳-۴ : منحنی تغییرات ΔS بر حسب تغییرات Ψ_4 و Φ_4 ($B_3LYP/6-31G(d)$ $\Psi_1 = \Phi_1 = \Psi_2 = \Phi_2 = \Phi_3 = \Psi_3 = 180^\circ$ Ψ_4 =متغیر) |

فهرست شکل ها

| عنوان | |
|-------|--|
| صفحه | |
| ۳ | شکل ۱-۱ : ساختار عمومی یک α آمینواسید |
| ۳ | شکل ۱-۲ : پیکربندی مطلق تکپارهای سازنده بیوپسپارها |
| ۳ | شکل ۱-۳: تعیین پیکربندی اسیدهای آمینه که به وسیله چرخش از گروه هیدروکسی آغاز می شود |
| ۷ | شکل ۱-۴ : گروه های R آلیفاتیک غیرقطب |
| ۸ | شکل ۱-۵ : گروه های R آروماتیک |
| ۹ | شکل ۱-۶ : گروه های R قطبی بدون بار |
| ۱۰ | شکل ۱-۷ : تشکیل برگشت پذیر پیوند دی سولفید با اکسایش دو مولکول Cys |
| ۱۱ | شکل ۱-۸ : گروه های R بازی (با بار ثابت) |
| ۱۲ | شکل ۱-۹ : گروه های R اسیدی با بار منفی |
| ۲۱ | شکل ۱-۱۰: سطوح ساختاری در پروتئین ها، چهار سطح ساختاری پروتئین هموگلوبین نمایش داده می شود |
| ۲۳ | شکل ۱-۱۱: مدل مارپیچ α که نحوه تشکیل پیوندهای هیدروژنی و موقعیت گروه های R نمایش داده شده است |
| ۲۴ | شکل ۱-۱۲: صفحات β ، یک صفحه β دو رشته ای ساده با رشته های β ناهمسو |
| ۲۵ | شکل ۱-۱۳: طرح راماچاندران |
| ۲۶ | شکل ۱-۱۴: طرح راماچاندران |
| ۳۲ | شکل ۱-۱۲ : ساختار آمینواسید پروولین |
| ۳۲ | شکل ۲-۱: سطح انرژی پتانسیل های آزاد $Ac-Pro-NHMe$ در سطح $HF/6-31+G(d)$ در طول پیچش Ψ در فاز گاز |
| ۳۳ | شکل ۲-۲: سطح انرژی پتانسیل $Ac-Pro-NHMe$ در سطح $HF/6-31+G(d)$ با روش $CPCMScRF$ در طول پیچش زاویه Ψ در فاز آب |
| ۳۳ | شکل ۲-۴: سطح انرژی پتانسیل $Ac-Pro-NHMe$ در سطح $HF/6-31+G(d)$ با روش $CPCMScRF$ در طول پیچش زاویه Ψ در فاز کلروفرم |
| ۳۴ | شکل ۲-۵: منحنی انرژی پتانسیل $(PECS)$ $-Val-Ala-NHMe$ و $MeCO-Ala-Val-NHMe$ در کنفورماسیون های کشیده $(\beta_L \beta_L)$ هنگامی که تابعی از χ_1 است |
| ۳۴ | شکل ۲-۶: منحنی انرژی پتانسیل $(PECS)$ $-Val-Ala-NHMe$ و $MeCO-Ala-Val-NHMe$ در کنفورماسیون های پیچشی $(\alpha_L \delta_L)$ هنگامی که تابعی از χ_1 است |
| ۳۶ | شکل ۲-۷: تصویر قیاسی دی پیتید $MeCO-Ala-AlaNHMe$ در چهار کنفیگوراسیون متفاوت آن |

- شکل ۸-۲ : نمایش زوایای پیچشی در تری پپتید_۲
۴۰ $HCO\text{-Gly-Gly-Gly-NH}_2$
- شکل ۹-۲ : سیستم نامگذاری استاندارد بکاربرده شده در تری پپتید
۴۱ $MeCO\text{-L-Ala-L-Ala-L-Ala-NHMe}$
- شکل ۱۰-۲ : نمایش سطح انرژی پتانسیل نقشه راماچان دران
۴۲ $MeCO\text{-Ala}[\beta_L]\text{-L-Ala-}[\beta_L]\text{-L-Ala-NHMe}$
- شکل ۱۱-۲ : دو مدل مختلف تری پپتید_۲
۴۳ $N\text{-Ac-L-Ala-}N\text{-Ac-D-Ala-Gly}[\beta]\text{-L-Ala-NHMe}$ و $Gly[\beta]\text{-L-Ala-NHMe}$
- شکل ۱۲-۲ : ساختار ابتدايی تری پپتید_۴
۴۸ $Boc\text{-Xaa-azaPhe-Ala-OMe}$ [Xaa=Gly(1), Ala(2), Phe(3), Asn(4)]
- شکل ۱۳-۲ : دو مدل ساختاری تری پپتید $Gly\text{-Gly-Met}$ و $Met\text{-Gly-Gly}$
۴۹
- شکل ۱۴-۲ : دو ساختار مختلف برای تری پپتید شامل متیونین
۵۰
- شکل ۱-۳ : دو مدل آرایش الکترون ها اطراف هسته یک اتم مطابق تئوری هارتی - فاک احتمال یکسانی را دارند ولی از نظر محاسبات انرژی همبستگی یکسان نیستند
۵۱
- شکل ۲-۳ : نتایج ممکن از افزایش درجه محاسبات مولر- پلست. دایره ها نشان دهنده همگرایی یکنواخت اند.
۵۲
- مربع ها نشان دهنده همگرایی نوسانی است. مثلث ها نیز نشان دهنده یک رشته انشعابی است
۵۳
- شکل ۳-۳ : نمایش تیزه در تابع موج حالت پایه اتم هیدروژن
۵۴
- شکل ۴-۳ : توابع اسلیتری و گوسینی برای اربیتال $1s$
۵۵
- شکل ۵-۳ : سری پایه $STO-3G$ برای اربیتال $1s$ و شماibi از یک تابع اسلیتری
۵۶
- شکل ۱-۴ : ساختار کلی تری پپتید مورد مطالعه
۵۷
- شکل ۲-۴ : سیستم شماره گذاری استاندارد بکار رفته تری پپتیدونمایش همه زوایای پیچشی مجاز اسکلت
۵۸
- شکل ۳-۴ : سه ساختار بهینه شده می نیمم به همراه تصویر نیومن آن ها
۵۹
- شکل ۴-۴ : تصاویر بهینه شده در اثر چرخش زاویه دو وجهی Φ_1
۶۰
- شکل ۴-۵ : تصاویر بهینه شده در اثر چرخش زاویه دو وجهی Ψ_1
۶۱
- شکل ۴-۶ : تصاویر بهینه شده در اثر چرخش زاویه دو وجهی Φ_2
۶۲
- شکل ۴-۷ : تصاویر بهینه شده در اثر چرخش زاویه دو وجهی Ψ_2
۶۳
- شکل ۴-۸ : تصاویر بهینه شده در اثر چرخش زاویه دو وجهی Φ_3
۶۴
- شکل ۴-۹ : تصاویر بهینه شده در اثر چرخش زاویه دو وجهی Ψ_3
۶۵
- شکل ۱۰-۴ : طرح نقشه راماچاندران ، $E=E(\Phi, \Psi)$ ، مربوط به یک باقیمانده آمینواسید
۶۶

شکل ۱۱-۴: نام های بازیرنویس حروف یونانی ۷۲۹ کنفورمر اسکلت صحیح تری پیتید که برای هر سه
حالت g^+ ، a و g^- کنفورمر بررسی شده در هر سه حالت آمینواسید مرکزی این تحقیق در طرح نشان
داده شده است ۱۴۴

شکل ۱۲-۴: تصاویر بهینه شده کنفورمرهای تری پیتید $HCO\text{-}Gly\text{-}L\text{-}Val\text{-}Gly\text{-}NH_2$ در حالت (g^-) ۱۴۶

شکل ۱۳-۴: تصاویر بهینه شده کنفورمرهای تری پیتید $HCO\text{-}Gly\text{-}L\text{-}Val\text{-}Gly\text{-}NH_2$ در حالت آنتی (a) ۱۴۷

شکل ۱۴-۴: تصاویر بهینه شده کنفورمرهای تری پیتید $HCO\text{-}Gly\text{-}L\text{-}Val\text{-}Gly\text{-}NH_2$ در حالت (g^+) ۱۴۸

شکل ۱۵-۴: شرح برهمکنش های جاذبه و دافعه دوقطبی - دوقطبی برای کنفورماتیون های
دی آمید آمینواسید مرکزی ۱۵۳

چکیده

در این تحقیق، کنفورماسیون های مدل تری پیتید $HCO\text{-Gly-L-Val-Gly-NH}_2$ که در ساختار پلی پیتید مادر پروتئین الاستین می باشد، در اثر چرخش زنجیر جانبی و زوایای پیچشی اسکلت، در فاز گازی مورد مطالعه قرار گرفته است. همه محاسبات با استفاده از برنامه گوسین ۲۰۰۳ و با بهره گیری از سطوح توری HF و B_3LYP با سری پایه $G(d)$ انجام شده است.

ابتدا ساختارهای بهینه و انرژی برای کنفورماسیون های حاصل از چرخش زاویه χ ، به فواصل 30° از صفر درجه تا 360° محاسبه شدند که سه مینیمم در $\chi = -60^\circ$ و $\chi = 180^\circ$ و $\chi = 300^\circ$ بدست آمد که به ترتیب $(g^+)(a)$ و $(g^-)(\alpha)$ نامگذاری شد. سپس برای کنفورماسیون های حاصل از چرخش زوایای پیچشی اسکلت ساختارهای بهینه، انرژی و مقادیر ترمودینامیکی انرژی آزاد گیبس، آنتالپی و آنتروپی در فواصل 30° از صفر تا 360° محاسبه شدند که این محاسبات بر روی کنفورمر پایدارتر (g^-) حاصل از چرخش χ انجام گرفت. هنگامی که $\Phi_1, \Psi_1, \Phi_2, \Psi_2$ در 180° بودند پایدارترین حالت بدست آمد اما در مورد زوایای پیچشی والین هنگامی که $\Phi_3 = -120^\circ$ و $\Psi_3 = -150^\circ$ بودند پایدارترین حالت یافت شد که با بزرگتر شدن زنجیر جانبی متصل به C_α آمینواسید، زوایای دو وجهی از 180° کمتر میشود. همچنین ساختارهای بهینه، انرژی و توابع ترمودینامیکی کنفورمرها حاصل از چرخش زوایای دو وجهی آمینواسید مرکزی (والین) طبق نقشه راماچاندران در هر سه حالت $(g^+), (a)$ و (g^-) در سطح $B3LYP$ و سری پایه $G(d)$ محاسبه شدند که کنفورمر $\beta_L \beta_L \beta_L$ در هر سه حالت پایدارترین کنفورمر یافت شد. با توجه به نتایج جاذبه دو قطبی - دو قطبی و همچنین آنتروپی در پایداری کنفورمرها معین دی آمیدهای آمینواسید نقش اساسی ایفا میکنند.

فصل اول

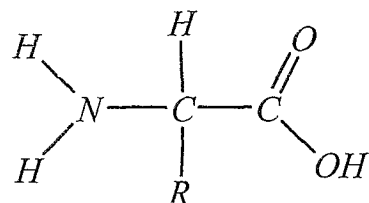
ساختمان پروتئین

۱- مقدمه:

پروتئین ها فراوان ترین ماکرومولکول های بیولوژیک هستند که در تمام سلول ها یافت میشوند. پروتئین ها ابزار مولکولی هستند که از طریق آن ها اطلاعات ژنتیکی بیان میگردند. واحدهای سازنده پروتئین، اسیدهای آمینه بوده که شامل انواع متفاوتی هستند. در ساختمان پروتئین های طبیعی بیست نوع اسید آمینه مختلف شرکت دارند. خواص پروتئین ها تا حد زیادی به محیط شیمیایی بستگی دارد. لذا انواع مختلفی از پروتئین ها وجود دارد، پروتئین های کروی محلول در آب، پروتئین های رشته ای نامحلول در آب و پروتئین هایی که با محیط آب گریز غشاء مضاعف همراه است هر یک از این پروتئین ها توسط ترکیب و توالی اسیدهای آمینه مشخص میشوند.

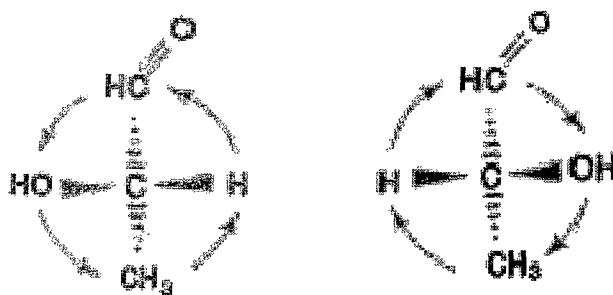
۱-۱- اسیدهای آمینه:

تمام اسیدهای آمینه از نوع α آمینواسید میباشند به این معنی که گروه های کربوکسیلیک اسید و آمینو توسط یک کربن α از هم جدا شده اند.



شکل ۱-۱: ساختار عمومی یک α آمینواسید

همه ی اسیدهای آمینه شناخته شده به جز گلیسین کایرال بوده و ساختار L دارند. پیکربندی اسیدهای آمینه نسبت به ساختارهای L و D گلیسرآلدهید سنجیده میشود. طبق قرارداد گروه های عاملی در D گلیسرآلدهید در راستای ساعتگرد حول اتم کربن کایرال میچرخدند این چرخش از آلدهید شروع شده و به هیدروکسی و متیل و سرانجام به گروه هیدروژن ختم میشود (شکل ۱-۲). [۱]

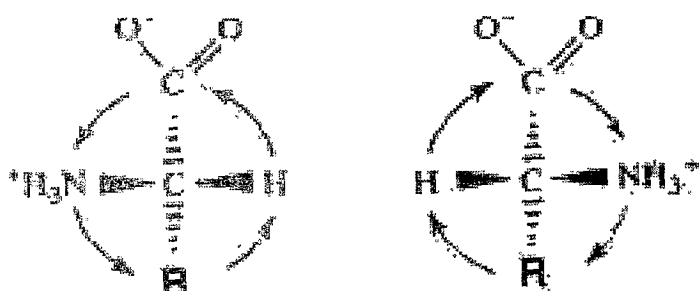


L-گلیسر آلدید

D-گلیسر آلدید

شکل ۱-۲: پیکربندی مطلق تکپارهای سازنده بیوپسپارها

برای اسیدهای آمینه استریو شیمی به وسیله چرخش که از گروه هیدروکسی آغاز میشود تعیین میگردد و در واقع گروه های آمین و هیدروژن بالای صفحه و گروه کربوکسیل و زنجیر جانبی در زیر صفحه قرار دارند(شکل ۱-۳).



L-آمینو اسید

D-آمینو اسید

شکل ۱-۳: تعیین پیکربندی اسیدهای آمینه که به وسیله چرخش از گروه هیدروکسی آغاز میشود

اسیدهای آمینه تنها در ساختمان پروتئین ها وجود ندارد به عنوان مثال در ضد ویروس های والینومایسین و گرامیسیدین که توسط باکتری ها تولید میشوند اسیدهای آمینه نوع D دیده شده است استریو شیمی اسیدهای آمینه هم برای ساختمان و هم برای عمل پروتئین مهم است.